高矿化度油藏用聚丙烯酰胺封堵凝胶的制备及性能

党志强 1,2, 张光华 2*, 赖小娟 1,2, 王 磊 1,2, 高进浩 3, 蔺旭杰 1,2

(1. 陕西科技大学 化学与化工学院,陕西 西安 710021; 2. 陕西科技大学 轻化工助剂化学与技术教育部重点实验室,陕西 西安 710021; 3. 陕西科技大学 轻工科学与工程学院,陕西 西安 710021)

摘要:为实现封堵凝胶对高矿化度油藏的有效封堵,以丙烯酰胺(AM)、2-丙烯酰胺-2-甲基丙磺酸(AMPS)、4-丙烯酰吗啉(ACMO)为聚合单体,通过水溶液聚合法制备了耐温耐盐聚丙烯酰胺(TS-2),然后将其与交联剂乙酸铬在 150 ℃交联成胶,制备了高抗盐凝胶封堵剂(TSP-2)。通过 FTIR、¹HNMR、SEM、旋转黏度计、流变仪对 TSP-2 进行了表征和测试,采用自制的不同渗透率的填砂管,评价了 TSP-2 的封堵性能,探讨了乙酸铬与 TS-2 的交联机理。结果表明,交联时间为 6 d 时,TSP-2 的表观黏度最高,为 94400 mPa·s,弹性模量和黏性模量在不同频率(0.1~10 Hz)和剪切应力(0.1~10 Pa)下均保持稳定; TSP-2 对液测渗透率 458~873 mD 的填砂管的封堵率均在 96%以上,突破压力梯度为 4.52~17.64 MPa/m; TS-2 与乙酸铬交联可分为诱导期、加速期和稳定期,乙酸铬通过水解释放的 Cr³+和羟桥反应,使凝胶内部逐渐形成丰富有序的交联网络结构,导致凝胶表观黏度从缓慢变化到快速增长,最后趋于稳定。

关键词: 地层水; 低强度; 缓交联封堵凝胶; 交联网络; 封堵效果; 油田化学品中图分类号: TE39 文献标识码: A 文章编号: 1003-5214 (2025) 10-2281-07

Preparation and properties of polyacrylamide plugging gel for high salinity oil reservoir

DANG Zhiqiang^{1,2}, ZHANG Guanghua^{2*}, LAI Xiaojuan^{1,2}, WANG Lei^{1,2}, GAO Jinhao³, LIN Xujie^{1,2}

(1. School of Chemistry and Chemical Engineering, Shaanxi University of Science & Technology, Xi'an 710021, Shaanxi, China; 2. Key Laboratory of Auxiliary Chemistry and Technology for Light Chemical Industry, Ministry of Education, Shaanxi University of Science & Technology, Xi'an 710021, Shaanxi, China; 3. College of Bioresources Chemical & Materials Engineering, Shaanxi University of Science & Technology, Xi'an 710021, Shaanxi, China)

Abstract: In order to achieve effective plugging of high salinity oil reservoir, temperature and salt-resistant polyacrylamide (TS-2) was prepared from aqueous polymerization of acrylamide (AM), 2-acrylamide-2-methylpropanesulfonic acid (AMPS) and 4-acrylylmorpholinium (ACMO), and crosslinked with chromium acetate at 150 °C to obtain high salt-resistant plugging sealer (TSP-2). TSP-2 was characterized and analyzed by FTIR, ¹HNMR, SEM as well as rotary viscometer and rheometer, while its plugging performance was further evaluated by self-made sand-filled tubes with different permeability, with the cross-linking mechanism between chromium acetate and TS-2 discussed. The results showed that the TSP-2 prepared *via* cross-linking for 6 d exhibited the highest apparent viscosity (94400 mPa·s), and stable elastic modulus as well as viscous modulus at different frequencies (0.1~10 Hz) and shear stresses (0.1~10 Pa). The sealing rate of TSP-2 sand filled pipes with fluid permeability of 458~873 mD were all above 96%, and the breakthrough pressure gradient was 4.52~17.64 MPa/m. The cross-linking between TS-2 with chromium acetate could be divided into induction phase, acceleration phase and stable phase. Through the Cr³⁺ and hydroxyl bridge reaction released by hydrolysis of chromium acetate, a rich and orderly

收稿日期: 2024-11-09; 定用日期: 2024-12-05; **DOI:** 10.13550/j.jxhg.20240850

基金项目: 国家自然科学基金项目 (31670596); 陕西省重点研发计划项目 (2020GY-232); 陕西省教育厅项目 (20JC005)

作者简介: 党志强 (1994—),男,博士生,E-mail: BS220811012@sust.edu.cn。**联系人**: 张光华 (1962—),男,教授,E-mail:

zhanggh@sust.edu.cno

cross-linking network structure was gradually formed inside the gel, resulting in the apparent viscosity of the gel changing slowly to increasing rapidly, and finally becoming stable.

Key words: formation water; low strength; slow crosslinking plugging gel; cross-linked network; plugging effect; oilfield chemicals

随着科技的发展,人们对油气勘探理论不断深入,油藏的开发逐步向深层、超深层^[1-5]的非常规领域逐渐拓展。近年来,随着油气资源产量在深层和超深层领域的不断突破,逐渐形成了大批储量区,为中国油气储量保持稳定提供了有效保障。

深井油气资源的开采仍存在诸如地层水淹等一 些问题,油气井井底越深,越接近隔水层,油藏边 部或者底部的底水或地层水通过地层裂缝或孔隙向 上移动,进入油井或油层,造成地层水淹,从而影 响油藏的采收率。基于此,学者们对地层水淹的问 题开展了室内研究。水凝胶是一种亲水的三维网络 结构凝胶[6-8], 在水中能够迅速吸收大量水分而溶 胀,但不溶解,具有良好的机械强度和保水性能, 近年来已广泛应用在医疗、电子、油田等多个领域。 凝胶封堵技术[9-13]是一种有效解决地层水淹的方 法,通过向地层中注入凝胶材料,使其到目标地层 后形成凝胶,以凝胶的高强度特性实现封堵,从而 降低水侵造成的伤害。张亚楠等[14]以丙烯酰胺 (AM)、2-丙烯酰胺-2-甲基丙磺酸(AMPS)、N-二 甲胺基丙基甲基丙烯酰胺(N-DMAPMA)为原料制 备了三元共聚物,然后在交联剂作用下制备了凝胶, 该凝胶具有良好的耐盐性能,适用于矿化度<1× 10⁵ mg/L 的油藏。LIU 等^[15]以 AM、1-乙烯基-2-吡 咯烷酮(NVP)、AMPS为原料制备了三元共聚物, 以聚乙烯亚胺为交联剂制备了封堵凝胶, 该封堵凝 胶可以在 120 ℃、2 MPa 的排斥压力下完全密封裂 缝,最终瞬时流量趋于0 mL/min,最大突破压力达 到 12.6 MPa, 固定排斥流速为 5 mL/min, 具有良 好的堵塞承压性能。景艳等[16]利用 AM 和 AMPS 二元共聚物、纳米硅颗粒、乙酸铬交联剂制备了铬 冻胶堵剂,结果发现,该铬冻胶堵剂在90℃下成 胶时间为 21 h, 成胶后弹性模量>16 Pa, 突破压力 梯度可达 2 MPa/m 以上。深井的油气藏埋深较大, 地层温度较高,压力较大,采出水矿化度>2× 10⁵ mg/L, 且仍在持续上升, 常规的凝胶体系在高 矿化度下的性能较差,无法满足现场施工要求,如 何实现凝胶在高矿化度的有效封堵是现阶段亟待 解决的问题。

本文拟将耐盐单体 AMPS 与耐温单体 4-丙烯酰 吗啉(ACMO)引入到 AM 主链中,采用水溶液聚

合法制备耐温耐盐聚丙烯酰胺,然后以乙酸铬为交联剂,制备高抗盐凝胶封堵剂。使用 FTIR、¹HNMR 对聚丙烯酰胺进行结构表征,采用 SEM、旋转黏度计、流变仪对凝胶封堵剂形成过程进行阐述,对其封堵性进行评价,阐述聚丙烯酰胺与乙酸铬交联过程与机理。以期为应用于高矿化度下的凝胶封堵剂的制备提供参考。

1 实验部分

1.1 试剂与仪器

AM、AMPS、ACMO、过硫酸铵(APS)、亚硫酸氢钠、偶氮二异丁腈(AIBN)、NaOH, AR, 国药集团化学试剂有限公司; 乙酸铬, 质量分数 99%, 上海瀚思化工有限公司; 阴离子聚丙烯酰胺(HPMA,相对分子质量为 1.2×10⁷),陕西长海油田助剂有限公司; 去离子水, 自制。

VERTEX 70 型傅里叶变换红外光谱仪(FTIR)、AVANCE Ⅲ HD 600 MHz 型全数字化超导核磁共振波谱仪(NMR), 德国 Bruker 公司; Quanta 450 FEG型扫描电子显微镜(SEM), 美国 FEI 公司; DVS+旋转黏度计, 美国 Brookfield 公司; KH-100 mL型水热合成反应釜,陕西长海油田助剂有限公司; HAAKE RS6000 型流变仪,德国 HAAKE 公司。

1.2 方法

1.2.1 聚丙烯酰胺的制备

将 $14.2 \, g(0.2 \, \text{mol}) \, AM \, \, 20.7 \, g(0.1 \, \text{mol}) \, AMPS$ 充分溶解在 $64.0 \, g(3.5 \, \text{mol})$ 去离子水中,然后用 NaOH 调节溶液 pH 至 $6\sim7$,控制温度在 $10 \, ^{\circ}$ C以下。将上述配制好的溶液倒入保温反应瓶中,通入 N_2 保持 $30 \, \text{min}$,搅拌加入 $0.456 \, g(0.002 \, \text{mol}) \, APS \, \, 0.312 \, g(0.003 \, \text{mol}) \, \text{亚硫酸氢钠和} \, 0.328 \, g(0.002 \, \text{mol}) \, AIBN \, 后,停止通入 <math>N_2$,使用保温棉绝热,直至体系温度恒定,反应时间 $3\sim4 \, h$,得到凝胶。凝胶剪切、造粒,于 $80 \, ^{\circ}$ C下干燥 $5 \, h$,粉碎机粉碎后用 $120 \, \text{目筛网过滤}$,得到 $35.1 \, g \, \text{耐盐聚丙烯} \, m$ 账白色粉末,记为 TS-1。

采用制备 TS-1 相同的方法和步骤,在加入 AM、AMPS 的同时加入 0.988 g (0.007 mol) ACMO,得到 35.6 g 耐温耐盐聚丙烯酰胺白色粉末,记为 TS-2。

TS-1 和 TS-2 的合成路线示意图如下所示:

1.2.2 凝胶封堵剂的制备

室温下,用采出水(表1)配制质量分数 0.5%的 TS-2 溶液 80 mL,再加入含量(以 TS-2 溶液质量计,下同)为 3%的乙酸铬交联剂,搅拌均匀后,装入 100 mL 高温水热合成釜中,在 150 ℃下交联,得到深绿色高抗盐凝胶封堵剂,记为 TSP-2。

采用制备 TSP-2 相同的方法和步骤,将 TS-1 代替 TS-2,得到深绿色高抗盐凝胶封堵剂,记为 TSP-1。

文献[16]研究结果表明, HPMA 在高盐环境下 具有良好的溶解性, 因此, 采用制备 TSP-2 相同的 方法和步骤,取质量分数 0.5%的 HPMA 溶液 80 mL 及含量 0.3%的乙酸铬交联剂,得到交联 HPMA,作 为对比实验。

对 TSP-1、TSP-2、交联 HPMA 在 150 ℃高温 水热合成釜中进行老化实验,观察凝胶在高温下的 凝胶稳定性。

表 1 采出水水质分析结果
Table 1 Results of produced water quality analysis

	1	1 3 3
离子	质量浓度/(mg/L)	总矿化度/(mg/L)
K ⁺ /Na ⁺	71781.32	216336.66
Ca^{2+}	10169.90	
Mg^{2+}	1385.59	
Cl ⁻	132595.10	
SO_4^{2-}	50.00	
HCO_3^-	147.75	
I_	7.00	
Br^-	200.00	

1.3 表征方法与性能测试

FTIR 测试: 温度 25 ℃, KBr 压片法, 波数范围 4000~500 cm⁻¹, 分辨率 4 cm⁻¹, 扫描次数 32 次。 ¹HNMR 测试: 将 15 mg TS-2 溶于 5 mL D₂O 中, 在 25 ℃下进行测试, 扫描频率 60 Hz。SEM 测试: 样

品使用液氮冷冻干燥, 喷金, 低位二次电子(LEI)模式, 工作电流 20 μA, 电子加速电压 20 kV。

表观黏度测试:在 25 °C下,使用旋转黏度计测试交联 7 d 过程中 TSP-1 与 TSP-2 表观黏度的变化。

黏弹性测试:在 30 ℃下,取用不同交联时间 段的 TSP-2,采用流变仪测定其弹性模量(G')与 黏性模量(G')随剪切应力(τ)和频率(f)的变化。

1.4 封堵实验

自制不同渗透率的填砂管(内径 2.5 cm,长度 30 cm)。在 150 °C下,对 TSP-2 的封堵性进行评价。将填砂管抽真空,测定孔隙体积;以 5 mL/min 的速率注入地层水至压力稳定,根据式(1)计算填砂管初始渗透率(K_1 , mD);以 3 mL/min 的速率反向注入 1.0 PV(注入速率×注入时间/孔隙体积)未老化的 TSP-2,并恒温 6 d;再以 5 mL/min 的速率正向注入地层水,测定突破压力,再根据式(1)计算封堵后渗透率(K_2 , mD)。按式(2)、(3)计算封堵率(η ,%)和突破压力梯度(P_L , MPa/m):

$$K = Q\mu L/(A\Delta P)$$
 (1)

$$\eta/\% = (K_1 - K_2)/K_1 \times 100$$
 (2)

$$P_{\rm L} = 100 P_{\rm b} / L$$
 (3)

式中: K 为绝对渗透率,mD; Q 为地层水通过填砂管的流量(平流泵设置),cm³/s; μ 为地层水黏度,mPa·s; ΔP 为地层水通过填砂管前后的压差,MPa; L 为自制填砂管长度,cm; A 为自制填砂管横截面积,cm²; η 为封堵率,%; P_b 为 TSP-2 在填砂管中突破压力,MPa。

2 结果与讨论

2.1 表征

2.1.1 FTIR 分析

图 1 为 TS-1 和 TS-2 的 FTIR 谱图。

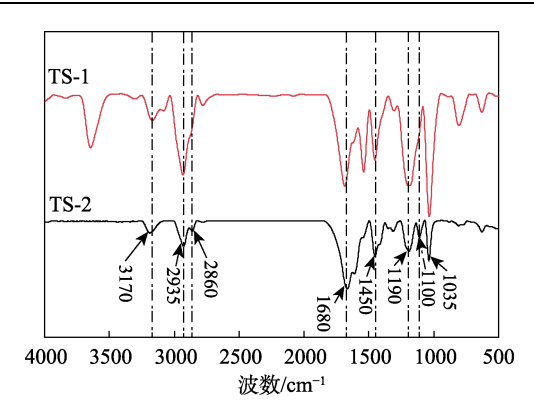


图 1 TS-1和TS-2的FTIR谱图 Fig. 1 FTIR spectra of TS-1 and TS-2

从图 1 可以看出,3170 cm⁻¹ 处为 N—H 键的伸缩振动吸收峰;2935 和2860 cm⁻¹ 处为亚甲基和次甲基中 C—H 键的伸缩振动吸收峰;1680 cm⁻¹ 处为 C—O 键的伸缩振动特征峰;1450 cm⁻¹ 处为 C—N 键的伸缩振动吸收峰;1190 cm⁻¹ 处为 C—S 键的弯曲振动吸收峰;1035 cm⁻¹ 处为 C—N 键的弯曲振动吸收峰。对比 TS-1 和 TS-2 的 FTIR 谱图可以看出,TS-2 在1100 cm⁻¹ 处出现新的吸收峰,为 CH₂—O—CH₂键的不对称伸缩振动,表明 TS-1、TS-2 成功制备。

2.1.2 ¹HNMR 分析

图 2 为 TS-2 的 ¹HNMR 谱图。

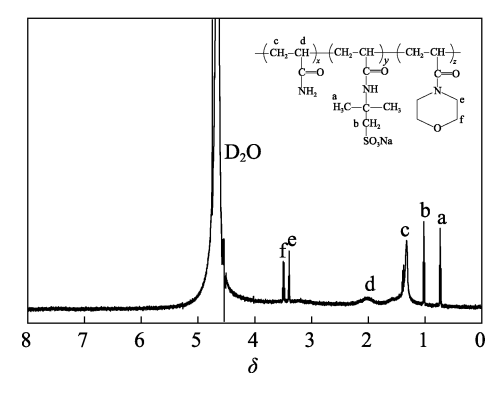
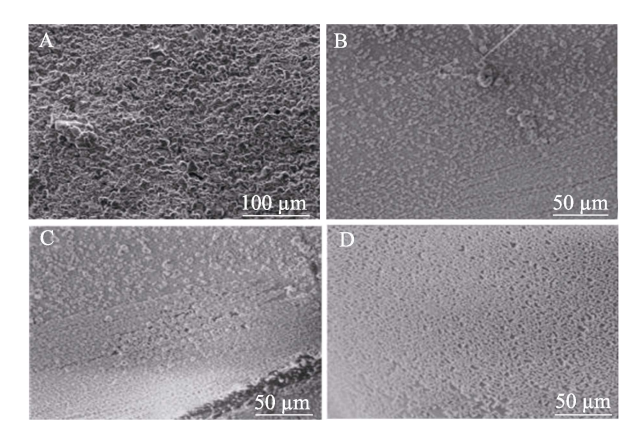


图 2 TS-2 的 ¹HNMR 谱图 Fig. 2 ¹HNMR spectrum of TS-2

从图 2 可以看出, δ 4.70 为 D_2O 溶剂峰; δ 0.73 (a) 处质子峰对应中— CH_3 基团; δ 1.02 (b) 处质子峰对应— CH_2 —基团; δ 1.35 (c) 和 2.02 (d) 处质子峰对应— CH_2 —和—CH—基团; δ 3.39 (e) 和 3.49 (f) 处质子峰对应— CH_2 — CH_2 —基团。证实耐温耐盐封堵剂 TS-2 已成功制备。

2.1.3 SEM 分析

图 3 为 TSP-1 和 TSP-2 在不同老化阶段的 SEM 图。



A-7 d; B-2 d; C-4 d; D-6 d

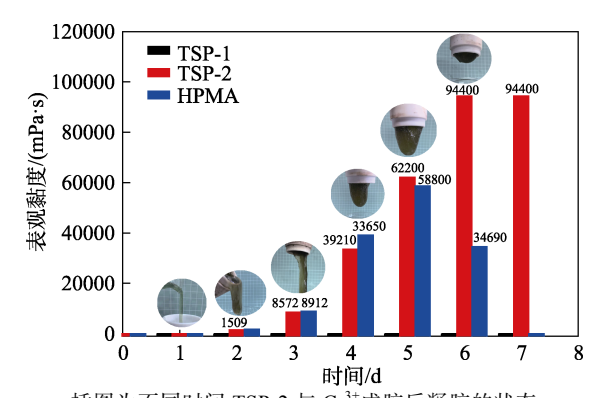
图 3 TSP-1(A)和 TSP-2(B~D)在不同交联时间的 SEM 图

Fig. 3 SEM images of TSP-1 (A) and TSP-2 (B~D) at different crosslinking times

从图 3 可以看出, TSP-1 在交联 7 d 后,聚合物表面富集了大量的盐离子,高温导致其聚合物分子链卷曲,并未出现交联网络结构(图 3A)。TSP-2 交联 2 d 后,聚合物表面有少量盐离子,但已出现少量聚合物聚集(图 3B),表明此时已发生分子内交联反应,分子链收缩形成密实的线团,可称为单分子球;交联 4 d 后,出现大量有序的聚合物聚集(图 3C),此时为单分子球间的交联,即分子间交联,初步形成有序的交联网络;交联 6 d 后,已形成大规模的有序交联网络结构(图 3D),表明 TSP-2 在高温下仍具有有序稳定的内部结构。

2.1.4 表观黏度分析

图 4 为 TSP-1 和 TSP-2 的表观黏度随时间的变化。



插图为不同时间 TSP-2 与 Cr3+成胶后凝胶的状态

图 4 TSP-1 和 TSP-2 的表观黏度随时间的变化 Fig. 4 Change of apparent viscosity of TSP-1 and TSP-2 over time

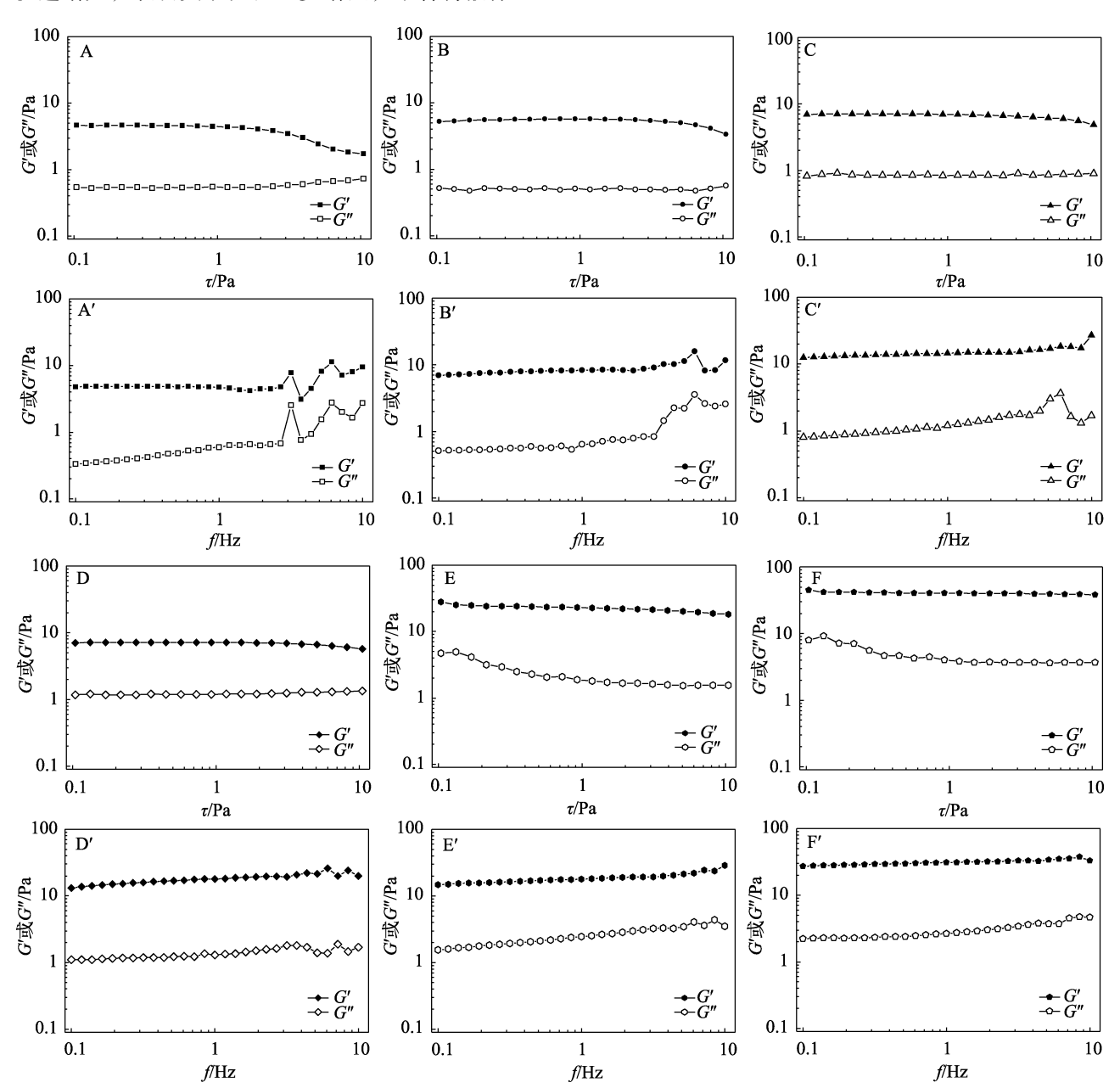
从图 4 可以看出, TSP-1 的初始表观黏度为 4.38 mPa·s; 交联第 2 d 表观黏度降至 2.77 mPa·s; 交联第 3 d 表观黏度降至 1.08 mPa·s; 此后至第 7 d,

表观黏度不再变化。表明 TSP-1 并未发生交联反应,并在 150 ℃下因高温导致分子链卷曲,出现脱水现象,说明 AM 和 AMPS 聚合制备的 TSP-1 无法在高温下使用。从图 4 还可以看出,TSP-2 的初始表观黏度为 4.65 mPa·s;交联 1 d 后,乙酸铬交联剂受热初步分解并出现初步交联反应,TSP-2 的表观黏度提高至 48.49 mPa·s;交联 2~5 d 时,表观黏度开始快速增大,表明交联反应逐步增强,聚合物液体逐

新形成弱凝胶;交联 6 d 时,表观黏度达到94400 mPa·s,此后不再变化,凝胶"舌头"消失,表明强凝胶形成,交联反应结束。同样地,HPMA通过与乙酸铬交联后形成的凝胶在初始表现出良好的黏度,但在 6 d 后凝胶黏度快速下降,直到完全脱水,说明 HPMA 也无法满足高温封堵。

2.1.5 黏弹性能分析

图 5 为 TSP-2 在不同交联时间的黏弹性能。



A、A'—1 d; B、B'—2 d; C、C'—3 d; D、D'—4 d; E、E'—5 d; F、F'—6 d 图 5 TSP-2 的 G'和 G"在不同交联时间随剪切应力(A~F)和频率(A'~F')的变化曲线

Fig. 5 Change curves of G' and G'' of TSP-2 with shear stress (A \sim F) and frequency (A' \sim F') at different crosslinking times

从图 5 可以看出,在不同交联阶段,G'始终大于 G",凝胶均表现出弹性。随着交联时间的增加,不同剪切应力和频率下,G'与G"趋于平稳。G'与G"均相对稳定(图 5A~F),说明交联反应发生后,不

同的剪切应力并未破坏凝胶内部铬离子与酰胺基团 形成的配位键,并且随着交联反应的进行,凝胶内 部结构逐步稳定,导致 *G*′与*G*″逐渐增强。交联 1~3 d 的凝胶 *G*′与 *G*″在高频率(1~10 Hz)下出现不稳定 波动(图 5A'~C'),这是因为,凝胶内部因不完全的交联反应出现不同程度的单分子球,导致结构尚不稳定。交联 4~5 d时(图 5D'、E'),表观黏度增长迅速,聚合物内部出现网络结构,使 G'与 G"在高频率下逐渐稳定。交联 6 d时,表观黏度增长到最大值,凝胶内部形成大量网状结构,使 G'与 G"在高频率下稳定,表明此时 TSP-2 的交联反应已经结束。

2.2 封堵性能分析

表 2 为 TSP-2 对不同渗透率填砂管的封堵效果。 图 6 为突破压力梯度和封堵率随填料管液测渗透率 的变化曲线。

表 2 TSP-2 对不同渗透率填砂管的封堵效果
Table 2 Sealing effect of TSP-2 on sand filled pipe with different permeability

填砂管 - 编号	填砂管参数		TSP-2 封堵效果		
	K_1/mD	孔隙体 积/cm³	K_2/mD	$P_{\rm L}/({\rm MPa/m})$	η /%
1#	458	5.47	11.85	17.64	97.41
2#	524	6.26	15.72	11.28	97.00
3#	642	6.97	19.54	9.69	96.96
4#	741	7.46	25.48	5.74	96.56
5#	873	7.90	33.84	4.52	96.12

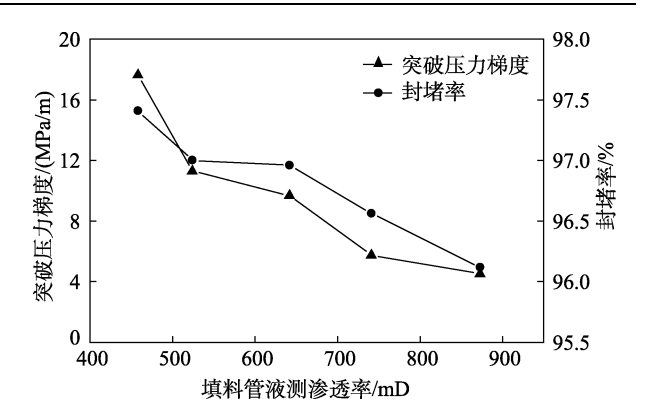


图 6 突破压力梯度和封堵率随填料管液测渗透率的变 化曲线

Fig. 6 Change curves of breakthrough pressure gradient and plugging rate with permeability

从表 2 可以看出, TSP-2 对渗透率为 458~873 mD 填砂管都有良好的封堵效果, 封堵率均>96%, P_L为 4.52~17.64 MPa/m。

从图 6 可以看出,随着填砂管渗透率的提高,突破压力梯度和封堵率均逐渐降低,表明 TSP-2 在低渗透率条件下使用,封堵效果更佳。

2.3 乙酸铬交联机理

图 7 为乙酸铬与 TS-2 的交联机理示意图。

A一诱导期;B-加速期;C-稳定期 了 乙酸铬与TS-2的交联机理示意图

Fig. 7 Schematic diagram of cross-linking mechanism between chromium acetate and TS-2

乙酸铬配合物通过配体使 Cr³+保持较低的反应活性。在高温条件下,交联第 1 d,乙酸铬出现水解释放反应,此阶段为交联反应诱导期(图 7A),凝胶表观黏度变化不大;交联第 2~4 d,当 Cr³+被大量释放并发生配体交换反应,即乙酸铬与聚合物发生交联反应时,Cr³+通过羟桥反应形成双核羟桥络合

交联体,此阶段为加速期(图 7B),凝胶表观黏度快速增大,其内部出现单分子球,初步出现交联网络;交联第 5~7 d,凝胶进一步发生水解与羟桥反应,形成多核羟桥络合交联体,此阶段为稳定期(图 7C),此时,凝胶内部形成大量有序、结构稳定的交联网络,成为高温耐盐缓交联封堵凝胶。

3 结论

通过水溶液聚合法制备了耐温耐盐稠化剂 TS-2, 然后将其与交联剂乙酸铬在 150 ℃交联成胶制备高温耐盐缓交联封堵凝胶 TSP-2。

- (1) 交联时间 6 d 时,TSP-2 的表观黏度为 94400 mPa·s,G'与 G''在不同频率和剪切应力下均保持稳定。
- (2) TSP-2 对初始渗透率为 458~873 mD 的填砂管均有良好的封堵效果, 封堵率均>96%, 突破压力梯度为 4.52~17.64 MPa/m。
- (3) TS-2 与乙酸铬交联可分为 3 个过程: 一为诱导期,此时乙酸铬出现水解释放反应,凝胶表观黏度变化不大; 二为加速期, Cr³⁺通过羟桥反应形成双核羟桥络合交联体,凝胶内部出现单分子球,表观黏度快速增大; 三为稳定期, Cr³⁺进一步通过水解与羟桥反应形成多核羟桥络合交联体,凝胶内部形成丰富有序的交联网络结构,表观黏度增长逐渐稳定。

参考文献:

- SHEN A J, HU A P, QIAO Z F, et al. Development and preservation mechanism of deep and ultra-deep carbonate reservoirs[J]. Science China Earth Sciences, 2024, 67(11): 3367-3385.
- [2] ZHANG K, LIU X F, WANG D B, et al. A review of reservoir damage during hydraulic fracturing of deep and ultra-deep reservoirs[J]. Petroleum Science, 2024, 21(1): 384-409.
- [3] BAI Y R, ZHANG Q T, SUN J S, et al. Double network self-healinghydrogel based on hydrophobic association and ionic bond for formation plugging[J]. Petroleum Science, 2022, 19(5): 2150-2164.
- [4] HAO F. Enrichment mechanism and prospects of deep oil and gas[J].

- Acta Geologica Sinica (English Edition), 2022, 96(3): 742-756.
- [5] WANG H G, HUANG H C, BI W X, et al. Deep and ultra-deep oil and gas well drilling technologies: Progress and prospect[J]. Natural Gas Industry B, 2022, 9(2): 141-157.
- [6] XU X W, JERCA V V, HOOGENBOOM R. Bioinspired double network hydrogels: From covalent double network hydrogels via hybrid double network hydrogels to physical double network hydrogels[J]. Materials Horizons, 2021, 8(4): 1173-1188.
- [7] JHON M S, ANDRADA J D. Water and hydrogels[J]. Journal of Biomedical Materials Research, 1973, 7(6): 509-522.
- [8] WARREN H, SHEPHERD D J, PANHUIS M I H, et al. Porous PNIPAm hydrogels: Overcoming diffusion-governed hydrogel actuation[J]. Sensors and Actuators A: Physical, 2020, 301: 111784.
- [9] QU W J, YU P Z. Intelligent gel as a high-performance plugging agent in deep wells[J]. Acta Geologica Sinica (English Edition), 2019, 93(S1): 192.
- [10] ZHAO G, DAI C L, ZHANG Y H, et al. Enhanced foam stability by adding comb polymer gel for in-depth profile control in high temperature reservoirs[J]. Colloids and Surfaces A Physicochemical and Engineering Aspects, 2015, 482(3): 115-124.
- [11] LAI N J, ZHAO J Q, WANG J, et al. Influence of external conditions on the stability of inorganic gel foam and exploration of the mechanism of action[J]. Journal of Molecular Liquids, 2023, 369: 120873
- [12] JIA H, CHEN S H, ZHOU Z M. Strength-enhanced nanocomposite foamed gel as a temporary wellbore plugging fluid: Formulation design and working performance[J]. Journal of Dispersion Science and Technology, 2021, 42(8): 1249-1258.
- [13] XU B. A novel foaming agent for low permeability reservoir with high temperature and salinity[J]. Semantic Scholar, 2018, 4(10): 18-24.
- [14] ZHANG Y N (张亚楠), ZHANG R J (张荣军), ZHANG C (张超), et al. Preparation and gelling performance evaluation of a new delayed crosslinking water shutoff agent system[J]. Applied Chemistry (应用化工), 2023, 52(7): 2080-2083.
- [15] LIU J P, FU H, LUO Z F, et al. Preparation and performance of pH-temperature responsive low-damage gel temporary plugging agent[J]. Colloids and Surfaces A: Physicochemical and Engineering Aspects, 2023, 662: 130990.
- [16] JING Y (景艳), LYU X (吕鑫), ZHANG S C (张士诚). Research of HPAM/Al³⁺ weak gel system with high temperature resistance and high salt tolerance[J]. Fine Chemicals (精细化工), 2005, 22(11): 60-62.

(上接第 2261 页)

- [29] MA P Y, YAO S W, WANG Z Q, et al. Preparation of nitrogen-doped hierarchical porous carbon aerogels from agricultural wastes for efficient pollution adsorption[J]. Separation and Purification Technology, 2023, 311: 123250.
- [30] GENG C, LIN R K, YANG P L. Highly selective adsorption of Hg (II) from aqueous solution by three-dimensional porous N-doped starch-based carbon[J]. Environmental Science and Pollution Research, 2023, 30: 52107-52123.
- [31] LI Y Y, GAO C L, SHUAI K W, et al. Performance and mechanism of starch-based porous carbon capture of Cr(VI) from water[J]. International Journal of Biological Macromolecules, 2023, 241: 124597.
- [32] GONZALEZ-HOURCADE M, REIS G S D, GRIMM A, et al.

 Microalgae biomass as a sustainable precursor to produce nitrogendoped biochar for efficient removal of emerging pollutants form
 aqueous media[J]. Journal of Cleaner Production, 2022, 348: 131280.
- [33] VYAVAHARE G, GURAV R, PATIL R, et al. Sorption of brilliant green dye using soybean straw-derived biochar: Characterization, kinetics, thermodynamics and toxicity studies[J]. Environmental Geochemistry and Health, 2021, 43: 2913-2926.
- [34] ZHANG Y Q, YU X C, LIU Y F, et al. Adsorption of chlortetracycline in aquaculture wastewater by lanthanum modified multi-walled carbon nanotubes[J]. Journal of Environmental Science and Health, Part B, 2022, 57(5): 369-378.
- [35] ALMUFARIJ R S, ABDULKHAIR B Y, SALIH M, et al. Sweep-out

- of tigecycline, chlortetracycline, oxytetracycline, and doxycycline from water by carbon nanoparticles derived from tissue waste[J]. Nanomaterials, 2022, 12(20): 3617.
- [36] TIAN Q B (田青柏), YANG G Y (杨美运), LI X Q (李晓强), et al. Study on preparation of magnetic coffee grounds biochar and its adsorption properties for chlortetracycline[J]. China Resources Comprehensive Utilization (中国资源综合利用), 2021, 39(8): 33-36.
- [37] FU T, WU S Q, ZHAO M, et al. Preparation and application of cattail residue-based magnetic cellulose composites for tetracycline antibiotics adsorption[J]. Process Safety and Environmental Protection, 2024, 189(2024): 598-611.
- [38] CHI X Y, ZENG L X, DU Y J, et al. Adsorption of levofloxacin on natural zeolite: Effects of ammonia nitrogen and humic acid[J]. Water Science and Technology, 2022, 85(10): 2928-2944.
- [39] LUO Y D, LAN Y W, LIANG S Z, et al. Rice husk hydrochar prepared by hydrochloric acid assisted hydrothermal carbonization for levofloxacin removal in bioretention columns[J]. Bioresource Technology, 2024, 393: 130105.
- [40] WEI F H, GONG J, REN Q H, et al. Preparation of Zn/Zr-MOFs by microwave-assisted ball milling and adsorption of lomefloxacin hydrochloride and levofloxacin hydrochloride in wastewater[J]. Environmental Research, 2024, 252(3): 118941.
- DING Q (丁绮), LI Y (李艳), CHEN W (陈伟), et al. A study on the synthesis performance of three-dimensional porous carbon materials and its adsorption performance on levofloxacin[J]. Chinese Journal of Health Laboratory (中国卫生检验杂志), 2023, 33(2): 154-159, 163.